



Министерство науки и высшего образования Российской Федерации  
Федеральное государственное бюджетное образовательное учреждение  
высшего образования  
«Московский государственный технический университет  
имени Н. Э. Баумана  
(национальный исследовательский университет)»  
(МГТУ им. Н. Э. Баумана)

ФАКУЛЬТЕТ \_\_\_\_\_ Фундаментальные науки

КАФЕДРА \_\_\_\_\_ Прикладная математика

РАСЧЕТНО-ПОЯСНИТЕЛЬНАЯ ЗАПИСКА  
*К КУРСОВОЙ РАБОТЕ*  
*НА ТЕМУ:*

*Построение решений эллиптических систем  
в треугольнике*

Студент \_\_\_\_\_  
ФН2-62Б  
(Группа)

\_\_\_\_\_  
(Подпись, дата)

К. А. Артемьев  
\_\_\_\_\_  
(И. О. Фамилия)

Руководитель курсовой работы

\_\_\_\_\_  
(Подпись, дата)

А. О. Багапш  
\_\_\_\_\_  
(И. О. Фамилия)

2022 г.

## Содержание

Введение . . . . .	3
1. Кососимметричная эллиптическая система . . . . .	4
2. Построение автоморфных функций . . . . .	7
2.1. Основные положения . . . . .	7
2.2. Практическая часть . . . . .	8
3. Примеры задач и их решений . . . . .	10
Заключение . . . . .	12
Список использованных источников . . . . .	13

## Введение

Рассматривается кососимметрическая сильно эллиптическая система на плоскости, приведённая к каноническому виду  $\partial\bar{\partial}f(z) + \tau\partial^2f(z) = 0$ , где  $f(z)$  — комплекснозначная функция комплексного переменного  $z$ ,

$$\partial := \frac{1}{2} \left( \frac{\partial}{\partial x} - i \frac{\partial}{\partial y} \right), \quad \bar{\partial} := \frac{1}{2} \left( \frac{\partial}{\partial x} + i \frac{\partial}{\partial y} \right)$$

— операторы Коши — Римана, а  $\tau \in [0, 1)$  — параметр. Решение выписанного уравнения имеет вид

$$f(z) = h\left(\frac{z - \tau\bar{z}}{1 - \tau}\right) + g(\bar{z}),$$

где  $h$  и  $g$  — голоморфные функции.

Если  $L \subset \mathbb{C}$  — прямая, то её уравнение можно записать в виде  $z = a\bar{z} + b$  и тогда любая функция вида

$$f(z) = h\left(\frac{z - \tau\bar{z}}{1 - \tau}\right) - h\left(\frac{(a - \tau)\bar{z} + b}{1 - \tau}\right)$$

удовлетворяет рассматриваемому уравнению и обращается в ноль на  $L$ . Используя этот факт, требуется построить в треугольнике решение  $f(z)$  изучаемого уравнения, обращающееся в ноль во всех точках границы, кроме одной, выбирая в качестве функции  $h$  подходящую автоморфную функцию. Требуется построить эту автоморфную функцию в виде тета-ряда Пуанкаре, а также реализовать алгоритм суммирования ряда.

# 1. Кососимметричная эллиптическая система

Эллиптическая система имеет вид

$$\left( A \frac{\partial^2}{\partial x^2} + 2B \frac{\partial^2}{\partial x \partial y} + C \frac{\partial^2}{\partial y^2} \right) \begin{pmatrix} u \\ v \end{pmatrix} = \begin{pmatrix} 0 \\ 0 \end{pmatrix}, \quad (1)$$

где  $A, B, C \in M_2(\mathbb{R})$ ,  $u = u(x, y)$ ,  $v = v(x, y)$ ,  $x, y, u, v \in \mathbb{R}$ . Кососимметричность системы означает, что

$$A := \begin{pmatrix} a_1 & -a_2 \\ a_2 & a_1 \end{pmatrix}, \quad B := \begin{pmatrix} b_1 & -b_2 \\ b_2 & b_1 \end{pmatrix}, \quad C := \begin{pmatrix} c_1 & -c_2 \\ c_2 & c_1 \end{pmatrix}.$$

В комплексной форме матричное уравнение (1) можно представить как

$$a f_{xx}(z) + 2b f_{xy}(z) + c f_{yy}(z) = 0, \quad (2)$$

где  $a := a_1 + ia_2$ ,  $b := b_1 + ib_2$ ,  $c := c_1 + ic_2$ ,  $z := x + iy$ ,  $f(z) := u(x, y) + iv(x, y)$ .

Эллиптичность системы (1) означает, что корни  $\lambda_1$  и  $\lambda_2$  уравнения

$$a\lambda^2 + b\lambda + c = 0$$

имеют ненулевые мнимые части, т.е.  $\lambda_1, \lambda_2 \in \mathbb{C} \setminus \mathbb{R}$ . Сильная эллиптичность системы (1) означает, что мнимые части  $\lambda_1$  и  $\lambda_2$  имеют разные знаки, т.е.

$$\operatorname{sgn} \operatorname{Im} \lambda_1 \neq \operatorname{sgn} \operatorname{Im} \lambda_2.$$

Существует такая замена переменных

$$\begin{pmatrix} x' \\ y' \end{pmatrix} = \begin{pmatrix} p & q \\ r & s \end{pmatrix} \begin{pmatrix} x \\ y \end{pmatrix},$$

что уравнение (2) приводится к каноническому виду

$$\partial \bar{\partial} f(z) + \tau \partial^2 f(z) = 0, \quad \text{или} \quad \partial(\bar{\partial} + \tau \partial) f(z) = 0, \quad \text{где} \quad \tau \in [0, 1). \quad (3)$$

Решение уравнения (3) имеет вид

$$f(z) = h\left(\frac{z - \tau \bar{z}}{1 - \tau}\right) + g(\bar{z}),$$

где  $h$  и  $g$  — голоморфные функции. Нетрудно установить, что

$$(\bar{\partial} + \tau \partial) h\left(\frac{z - \tau \bar{z}}{1 - \tau}\right) = 0 \quad \text{и} \quad \partial g(\bar{z}) = 0.$$

Требуется найти функцию  $f$ , принимающую нулевое значение всюду на границах  $\partial T$  произвольно заданного треугольника  $T$ , кроме одной точки  $z_\partial \in \partial T$ . Будем строить эту функцию, считая, что одна из сторон треугольника совпадает с отрезком  $[0, 1]$ . Для выполнения этого условия отображим произвольно заданный треугольник, используя линейное отображение  $z \mapsto az + b$ . Пусть  $z_0$  и  $z_1$  — вершины треугольника, отображаемые в 0 и 1 соответственно. Символом  $z_T$  формально обозначим другую вершину треугольника. Тогда

$$\begin{cases} az_0 + b = 0 \\ az_1 + b = 1 \end{cases} \Rightarrow a = \frac{1}{z_1 - z_0}, \quad b = \frac{z_0}{z_0 - z_1}.$$

Таким образом, нужное нам линейное отображение найдено. Точки  $z_\partial$  и  $z_T$  отображаются в точки  $z_\partial^* := az_\partial + b$  и  $z_T^* := az_T + b$  соответственно. Теперь рассмотрим полученный треугольник, изображённый на рисунке:

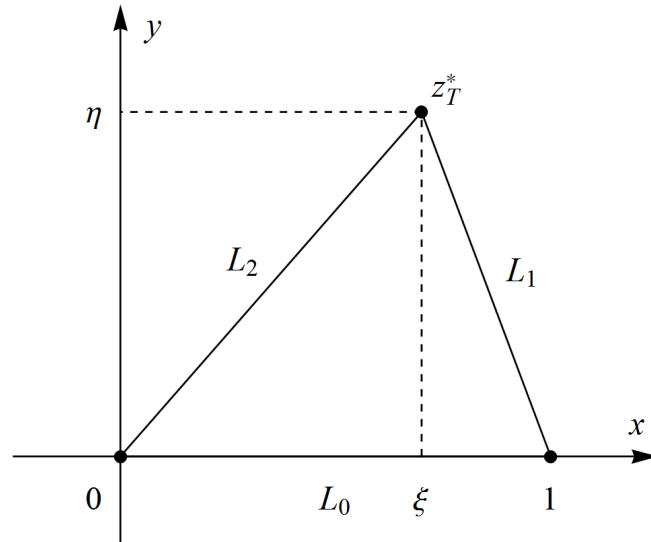


Рис. 1. Треугольник с вершинами в точках 0, 1,  $z_T^* := \xi + i\eta$  и со сторонами

$$L_0 := [0, 1], \quad L_1 := [z_T^*, 1], \quad L_2 := [0, z_T^*].$$

Символами  $L_0, L_1, L_2$  будем обозначать как стороны (рис. 1), так и соответствующие прямые, содержащие их. Построим уравнения этих прямых в виде  $z = A_k \bar{z} + B_k$ , где  $A_k, B_k \in \mathbb{C}$ ,  $k = \overline{0, 2}$ . Ясно, что прямая  $L_0$  задаётся уравнением  $z = \bar{z}$ , т. е.  $A_0 := 1$ ,  $B_0 := 0$ . Уравнение прямой  $L_1$  в координатах  $x$  и  $y$  имеет вид

$$\frac{x-1}{\xi-1} = \frac{y}{\eta}, \quad \text{т. е.} \quad i \frac{2x-2}{\xi-1} = \frac{2iy}{\eta}.$$

Из соотношений  $2x = z + \bar{z}$  и  $2iy = z - \bar{z}$  получаем

$$\frac{z + \bar{z} - 2}{\xi - 1} = \frac{z - \bar{z}}{i\eta}.$$

Выражая  $z$  через  $\bar{z}$ , получаем  $z = A_1 \bar{z} + B_1$  с коэффициентами

$$A_1 := \frac{z_T^* - 1}{\bar{z}_T^* - 1}, \quad B_1 := -\frac{2i \operatorname{Im} z_T^*}{\bar{z}_T^* - 1}.$$

Уравнение прямой  $L_2$  имеет вид

$$\frac{x}{\xi} = \frac{y}{\eta}, \quad \text{или} \quad \frac{z + \bar{z}}{\xi} = \frac{z - \bar{z}}{i\eta}.$$

Выражая  $z$  через  $\bar{z}$ , получаем  $z = A_2 \bar{z} + B_2$  с коэффициентами  $A_2 := z_T^* / \bar{z}_T^*$ ,  $B_2 := 0$ .

Будем искать функцию  $f$ , считая, что она имеет вид

$$f(z) = h\left(\frac{z - \tau \bar{z}}{1 - \tau}\right) - h(\bar{z}), \quad (4)$$

где  $h$  — голоморфная функция. Потребуем, чтобы  $f(z) = 0$  на отрезках  $L_0, L_1, L_2$ . Прямая  $L_0$  задаётся уравнением  $z = \bar{z}$ , значит,

$$\frac{z - \tau \bar{z}}{1 - \tau} = z = \bar{z}.$$

Таким образом, функция  $f$ , имеющая вид (4), принимает нулевое значение на  $L_0$  без каких-либо дополнительных условий. Прямые  $L_k$  ( $k = \overline{1, 2}$ ) задаются уравнениями вида  $z = A_k \bar{z} + B_k$ , значит,

$$\frac{z - \tau \bar{z}}{1 - \tau} = \frac{(A_k - \tau)\bar{z} + B_k}{1 - \tau} = a_k \bar{z} + b_k, \quad \text{где} \quad a_k := \frac{A_k - \tau}{1 - \tau}, \quad b_k := \frac{B_k}{1 - \tau}.$$

Получаем, что  $f(z) = h(a_k \bar{z} + b_k) - h(\bar{z})$  при  $z \in L_k$ . Итак, для обнуления значения функции  $f$  на границах треугольника достаточно выполнения условий

$$\begin{cases} h(z) = h(T_1(z)), \\ h(z) = h(T_2(z)), \end{cases} \quad (5)$$

где  $T_1(z) := a_1 z + b_1$ ,  $T_2(z) := a_2 z + b_2$ , т. е. инвариантности функции  $h$  относительно линейных преобразований  $T_1$  и  $T_2$ .

## 2. Построение автоморфных функций

### 2.1. Основные положения

Для дальнейших рассуждений определим ряд важных понятий.

**Определение 1.** Множество  $G := \{G_1, G_2, \dots\}$  дробно-линейных отображений (ДЛО) называется *группой*, если оно обладает следующими свойствами:

1. Тожественное преобразование  $I \in G$ .
2. Если  $g \in G$ , то и  $g^{-1} \in G$ .
3. Если  $\varphi, \psi \in G$ , то и композиция (произведение)  $\varphi\psi \in G$ .

**Определение 2.** Преобразования  $G_1, G_2, \dots, G_N$  называются *образующими* группы  $G$ , если любое преобразование из  $G$  является конечным произведением положительных или отрицательных степеней некоторых из преобразований  $G_k$ ,  $k = \overline{1, N}$ .

**Определение 3.** Окружность  $|cz + d| = 1$  с центром в точке  $-d/c$  и с радиусом  $1/|c|$  ( $c \neq 0$ ), представляющая собой геометрическое место всех точек, в окрестности которых длины и площади остаются неизменными при преобразовании

$$z \mapsto \frac{az + b}{cz + d}, \quad ad - bc = 1,$$

называется *изометрической окружностью* преобразования.

**Определение 4.** Точка сгущения центров изометрических окружностей преобразований группы называется *предельной точкой* группы. Всякая точка, не являющаяся предельной, называется *обыкновенной точкой* группы.

**Определение 5.** Пусть  $G := \{G_0, G_1, G_2, \dots\}$  — группа ДЛО,

$$G_k(z) := \frac{a_k z + b_k}{c_k z + d_k}, \quad a_k d_k - b_k c_k = 1, \quad k \in \mathbb{N} \cup \{0\}$$

— её элементы. Пусть  $H$  — рациональная функция, ни один полюс которой не является предельной точкой группы  $G$ . Функциональный ряд вида

$$\theta(z) := \sum_{k=0}^{\infty} (c_k z + d_k)^{-2m} H(G_k(z)) \quad (6)$$

называется *тета-рядом Пуанкаре*.

Нетрудно установить, что

$$\theta(G_n(z)) = (c_n z + d_n)^{2m} \theta(z), \quad n \in \mathbb{N} \cup \{0\}. \quad (7)$$

С помощью таких рядов можно строить функции, являющиеся инвариантными относительно преобразований группы  $G$  (иными словами, автоморфные по отношению к группе  $G$ ). Пусть  $\theta_1$  и  $\theta_2$  — два тэта-ряда с одним и тем же целым  $m$ ,

$F(z) := \theta_1(z)/\theta_2(z)$ . Тогда, учитывая (7),

$$F(G_n(z)) := \frac{\theta_1(G_n(z))}{\theta_2(G_n(z))} = \frac{(c_n z + d_n)^{2m} \theta_1(z)}{(c_n z + d_n)^{2m} \theta_2(z)} = F(z),$$

т. е. функция  $F$  автоморфна по отношению к группе  $G$ .

**Теорема.** Пусть  $m > 2$  и  $\infty \in \overline{\mathbb{C}}$  — обыкновенная точка группы. Пусть, далее,  $S \subset \overline{\mathbb{C}}$  — область, внутри которой нет ни одной предельной точки группы. Тогда функция, определяемая тета-рядом (6), аналитична всюду в области  $S$  за исключением некоторых точек, являющихся её полюсами.

## 2.2. Практическая часть

В предыдущем разделе мы получили условия (5), согласно которым функция  $h$  инвариантна относительно линейных преобразований  $T_1$  и  $T_2$ . Следовательно, она инвариантна относительно любой композиции  $T_1, T_2, T_1^{-1}, T_2^{-1}$  и их степеней. Символом  $\langle T_1, T_2 \rangle$  обозначим группу, порождённую элементами  $T_1$  и  $T_2$ . Итого, функция  $h$  инвариантна относительно преобразований группы  $\langle T_1, T_2 \rangle$ , иными словами, автоморфна по отношению к группе  $\langle T_1, T_2 \rangle$ .

Так как  $T_1$  и  $T_2$  — линейные преобразования, то и все остальные преобразования из группы  $\langle T_1, T_2 \rangle$  также линейны. Это означает, что бесконечно удалённая точка является предельной для группы  $\langle T_1, T_2 \rangle$ , что противоречит условиям сформулированной выше теоремы. По этой причине для получения сходящихся тета-рядов Пуанкаре понадобится перейти от группы  $\langle T_1, T_2 \rangle$  к группе нелинейных ДЛО.

Согласно полученным ранее условиям (5),  $h(z) = h(T_k(z))$ ,  $k = \overline{1, 2}$ . Пусть  $P$  — произвольное ДЛО. Введём замену переменной  $z = P(\zeta)$ , то есть  $\zeta := P^{-1}(z)$ . Также введём замену искомой функции  $g(\zeta) := h(z)$ , то есть

$$g(\zeta) = h(P(\zeta)) \quad \text{или} \quad h(z) = g(P^{-1}(z)).$$

Точка  $z_\partial^*$  отображается в точку  $\zeta_\partial := P^{-1}(z_\partial^*)$ . Из условий (5) следует, что

$$g(P^{-1}(z)) = g(P^{-1}T_k(z)), \quad k = \overline{1, 2}.$$

Учитывая, что  $P^{-1}(z) = \zeta$  и  $z = P(\zeta)$ , получим

$$g(\zeta) = g(P^{-1}T_k P(\zeta)), \quad k = \overline{1, 2}.$$

Обозначим  $S_1 := P^{-1}T_1 P$ ,  $S_2 := P^{-1}T_2 P$ . Тогда  $g(\zeta) = g(S_k(\zeta))$ ,  $k = \overline{1, 2}$ . Это означает, что функция  $g$  автоморфна по отношению к группе  $\langle S_1, S_2 \rangle$ . Таким образом, следует выбирать отображение  $P$  так, чтобы отображения  $S_1$  и  $S_2$  получились нелинейными.



Итак, решение поставленной задачи — это функция  $f$ , имеющая вид

$$f(z) = h\left(\frac{z - \tau\bar{z}}{1 - \tau}\right) - h(\bar{z}), \quad \text{где} \quad h(z) = \frac{\theta_1(\zeta)}{\theta_2(\zeta)} \Big|_{\zeta=P^{-1}(z)},$$

где

$$\theta_n(z) := \sum_{k=0}^{\infty} (c_k z + d_k)^{-2m} H_n(G_k(z)), \quad n = \overline{1, 2}.$$

Отображение  $H_1$  для ряда  $\theta_1$  подбираем так, чтобы точка  $\zeta_\delta$  была полюсом  $H_1$ . Численными приближениями сумм рядов  $\theta_1$  и  $\theta_2$  будем считать их частичные суммы. Для вычисления частичных сумм будем генерировать конечный набор элементов  $\{G_0, G_1, \dots, G_N\}$  группы  $G := \langle S_1, S_2 \rangle$ .

Алгоритм генерации представляет собой последовательное выполнение похожих друг на друга этапов. Результатом каждого этапа является набор, полученный умножением элементов с предыдущего этапа на элементы  $S_1, S_2, S_1^{-1}, S_2^{-1}$ . Рассмотрим этот процесс подробнее.

Изначально имеем элемент  $I$  — тождественное преобразование. Действия на первом этапе тривиальны:  $IS_1 = S_1, IS_2 = S_2, IS_1^{-1} = S_1^{-1}, IS_2^{-1} = S_2^{-1}$ , т. е. получены элементы  $S_1, S_2, S_1^{-1}, S_2^{-1}$ .

На следующем этапе имеем

$$\begin{array}{llll} S_1 & \mapsto & S_1^2, & S_1 S_2, \quad S_1 S_2^{-1}; \\ S_2 & \mapsto & S_2 S_1, & S_2^2, \quad S_2 S_1^{-1}; \\ S_1^{-1} & \mapsto & S_1^{-1} S_2, & S_1^{-2}, \quad S_1^{-1} S_2^{-1}; \\ S_2^{-1} & \mapsto & S_2^{-1} S_1, & S_2^{-1} S_1^{-1}, \quad S_2^{-2}. \end{array}$$

**Замечание.** Произведения  $S_1 S_1^{-1}, S_2 S_2^{-1}, S_1^{-1} S_1, S_2^{-1} S_2$  пропускаем, поскольку они дают уже имеющийся элемент  $I$ . Подобных ситуаций будем избегать и на всех последующих этапах. Так, например, произведение  $S_2 S_1^{-1} S_1$  даёт элемент  $S_2$ , полученный на первом этапе.

Нетрудно заметить, что при заданном алгоритме на всяком этапе (кроме первого) генерируется втрое большее число элементов, чем на предыдущем. Таким образом, при выполнении  $N$  этапов будет получено

$$1 + 4 + 12 + 36 + \dots + 4 \cdot 3^{N-1} = 1 + 4(1 + 3 + 9 + \dots + 3^{N-1}) = 1 + 4 \sum_{k=0}^{N-1} 3^k \quad (8)$$

элементов. Однако, даже учитывая сделанное выше замечание, среди получаемых элементов всё равно могут попадаться повторяющиеся. Это означает, что величину (8) следует считать *максимальным* количеством (или *оценкой сверху* количества) различных элементов, сгенерированных при выполнении  $N$  этапов алгоритма.

### 3. Примеры задач и их решений

В рамках курсовой работы написана реализация решения задачи на языке C++. Результатом работы программы является двоичный файл, содержащий значения искомой функции на некоторой прямоугольной сетке. Визуализация результата выполняется средствами для чтения двоичных файлов и построения графиков в системе компьютерной алгебры Wolfram Mathematica.

В ходе написания и тестирования реализации выяснилось, что построенный алгоритм позволяет получить корректное решение далеко не при любых условиях задачи. Для получения корректного результата задаваемый треугольник должен иметь одну из трёх допустимых форм:

- прямоугольный равнобедренный, т. е. с углами  $90^\circ, 45^\circ, 45^\circ$ ;
- равносторонний, т. е. с углами  $60^\circ, 60^\circ, 60^\circ$ ;
- прямоугольный с углами  $90^\circ, 60^\circ, 30^\circ$ .

Также корректность решения сильно зависит от параметра  $\tau$ : отклонение от нулевых граничных условий быстро растёт с увеличением  $\tau$ ; решение удовлетворяет граничным условиям при  $\tau = 0$ .

Во всех примерах решения задач будем использовать  $\tau = 0$ ,  $m = 3$  и отображения

$$P(\zeta) = \frac{(2 + 7i)\zeta + 9}{6i\zeta + 11}, \quad H_1(\zeta) = \frac{1}{\zeta - \zeta_\partial}, \quad H_2(\zeta) = \zeta.$$

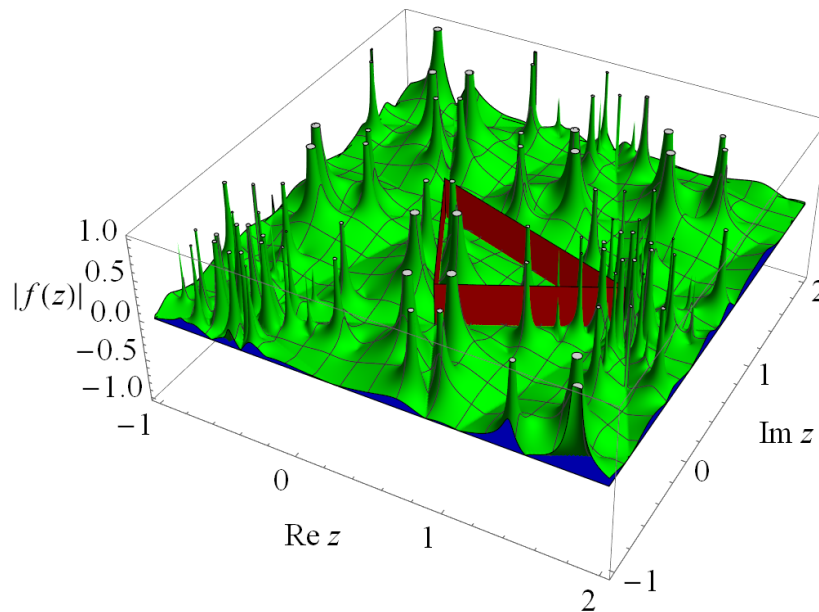


Рис. 2. Поверхность модуля функции  $f$  при треугольнике с вершинами в точках  $z_0 = \frac{1}{2} - \frac{1}{4}i$ ,  $z_1 = \frac{3}{2} + \frac{1}{4}i$ ,  $z_T = \frac{3}{4}i$ . На границе треугольника точка  $z_\partial = 1$ .

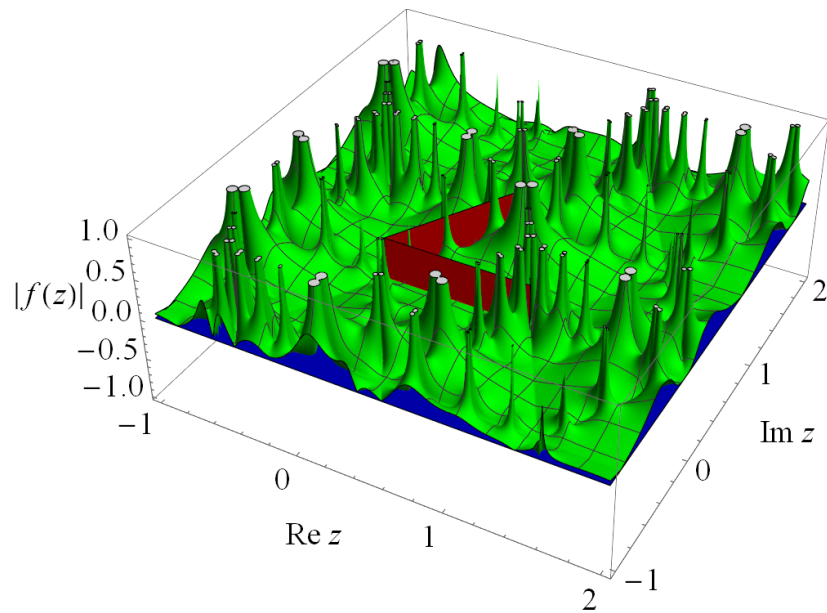


Рис. 3. Поверхность модуля функции  $f$  при треугольнике с вершинами в точках  $z_0 = 0$ ,  $z_1 = 1$ ,  $z_T = \frac{1}{2} + \frac{\sqrt{3}}{2}i$ . На границе треугольника точка  $z_\partial = \frac{1}{2}$ .

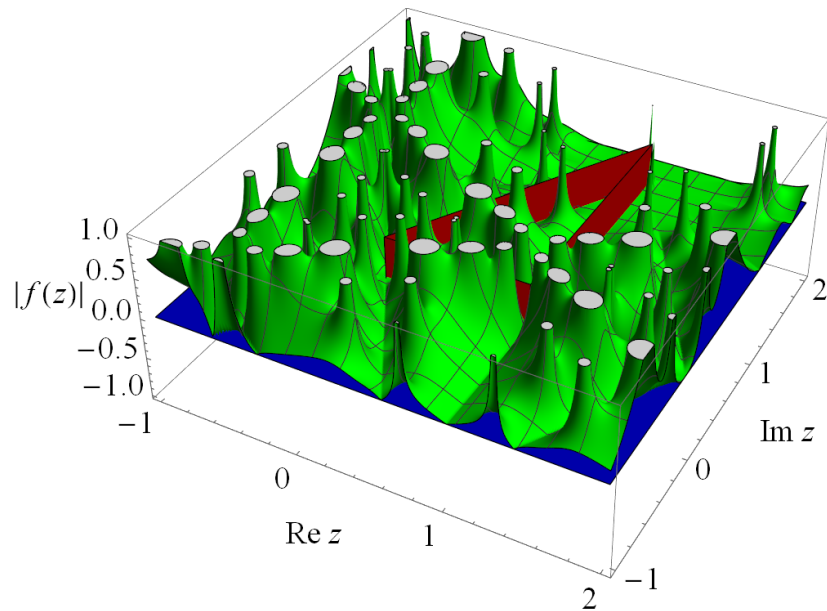


Рис. 4. Поверхность модуля функции  $f$  при треугольнике с вершинами в точках  $z_0 = 0$ ,  $z_1 = 1$ ,  $z_T = 1 + \sqrt{3}i$ . На границе треугольника точка  $z_\partial = \frac{1}{2}$ .

## Заключение

В ходе выполнения курсовой работы был получен алгоритм построения приближённого решения уравнения  $\partial\bar{\partial}f(z) + \tau\partial^2f(z) = 0$ , обращающегося в ноль во всех точках границы произвольного треугольника, кроме одной наперёд задаваемой. Установлены границы применимости полученного алгоритма, разработана реализация на языке C++.

## Список использованных источников

1. Бейтмен Г., Эрдейи А. Высшие трансцендентные функции. Эллиптические и автоморфные функции. Функции Ламе и Матье. Москва: Издательство «Наука», 1967 г., 300 с.
2. Форд Р. Автоморфные функции. Москва: Объединённое научно-техническое издательство НКТП СССР, 1936 г.